

두 불연속면의 교선을 구하는 계산법

임성철, 송승원
(주)한구엔지니어링

1. 서론

암반사면내 두불연속면에 의해 형성되는 교선(intersection line)의 trend/plunge를 구하는 방법은 (1) 스테레오 투영법, (2) 벡터해법, (3) 도해법이 있으나 본 기술보고서에서는 불연속면의 apparent dip을 이용, 교선의 trend/plunge를 구하는 또 다른 방법을 제시하고자 한다.

2. 관계식 유도

2.1 위경사각(apparent dip) 개념

하나의 불연속면(dip direction / dip : α_1/β_1)에서 임의의 수평성분방향(α_0)에 대한 위경사각(β_0)은 다음과 같은 방법으로 구할 수 있다.

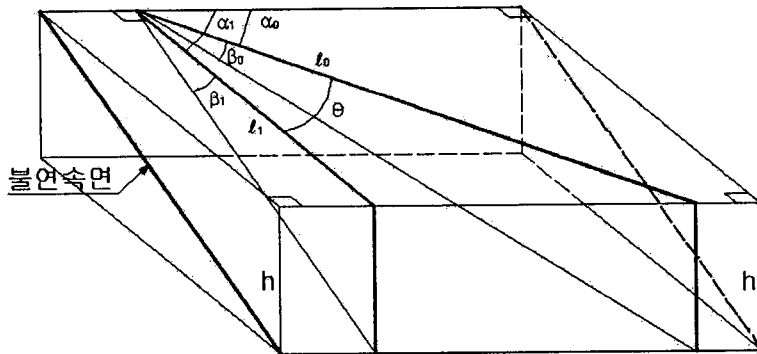


fig1. 불연속면(dip direction / dip : α_1/β_1)과 임의의 방향에 대한
apparent dip direction / apparent dip : α_0/β_0 의 관계

$$\tan \beta_1 = \frac{h}{l_1}, \quad \tan \beta_0 = \frac{h}{l_0} = \frac{h \cdot \cos \theta}{l_1}$$

$$\text{apparent dip}(\beta_0) = \tan^{-1}(\tan \beta_1 \cdot \cos \theta) \dots\dots\dots \textcircled{1}$$

2.2 두 불연속면의 교선방향(trend : α_0) 계산식 유도

두 불연속면의 dip direction / dip (제1불연속면: α_1/β_1 , 제2불연속면: α_2/β_2)과 교선의 trend/plunge(α_0/β_0) 관계는 제1불연속면에서의 α_0 방향에 대한 위경사각, 제2불연속면에서의 α_0 방향에 대한 위경사각이 같은 점을 이용하여 관계식을 유도할 수 있다.

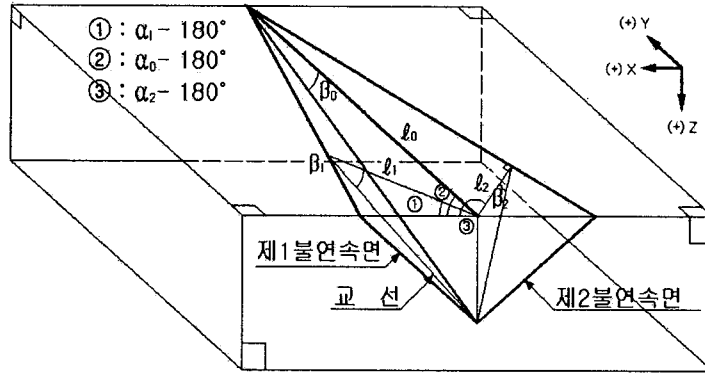


fig2. 2개의 불연속면과 교선의 관계

α_1/β_1 : 제1불연속면의 dip direction/dip

α_2/β_2 : 제2불연속면의 dip direction/dip

α_0/β_0 : 교선의 trend/plunge

$$\tan \beta_0 = \tan \beta_1 \cos(\alpha_1 - \alpha_0) \dots\dots\dots ②$$

$$\tan \beta_0 = \tan \beta_2 \cos(\alpha_2 - \alpha_0) \dots\dots\dots ③$$

$$\frac{\tan \beta_1}{\tan \beta_2} = \frac{\cos(\alpha_2 - \alpha_0)}{\cos(\alpha_1 - \alpha_0)} \dots\dots\dots ④$$

여기에서 $\frac{\tan \beta_1}{\tan \beta_2} = A$ 라 하면

$$\tan \alpha_0 = \frac{A \cos \alpha_1 - \cos \alpha_2}{\sin \alpha_2 - A \sin \alpha_1} \dots\dots\dots ⑤$$

$$\alpha_0 = \tan^{-1} \left[\frac{A \cos \alpha_1 - \cos \alpha_2}{\sin \alpha_2 - A \sin \alpha_1} \right] \dots\dots\dots ⑥$$

α_0 를 $0^\circ \sim 360^\circ$ 사이값을 갖게 하도록 하기 위하여 식⑤에서 분자항을 U_x , 분모항을 U_y 라 하고, U_x 및 U_y 의 크기에 따른 보정치를 Q 라하면 상기 ⑥식은 아래와 같이 표현할 수 있다.

$$\alpha_0 = \tan^{-1} \left[\frac{A \cos \alpha_1 - \cos \alpha_2}{\sin \alpha_2 - A \sin \alpha_1} \right] + Q \dots\dots\dots ⑦$$

U_x	U_y	Q
≥ 0	≥ 0	0
< 0	≥ 0	180°
< 0	< 0	180°
≥ 0	< 0	360°

2.3 교선의 경사각(plunge : β_0)

식⑥에 $\tan \alpha_0 = \frac{A \cos \alpha_1 - \cos \alpha_2}{\sin \alpha_2 - A \sin \alpha_1}$ 이므로 fig3.과 같이 표현할 수 있다.

$$\sin \alpha_0 = \frac{(A \cos \alpha_1 - \cos \alpha_2)}{\ell_0} \dots \textcircled{8}, \cos \alpha_0 = \frac{(\sin \alpha_2 - A \sin \alpha_1)}{\ell_0} \dots \textcircled{9}$$

$$\begin{aligned} \text{여기에서 } \ell_0^2 &= (A \cos \alpha_1 - \cos \alpha_2)^2 + (\sin \alpha_2 - A \sin \alpha_1)^2 \\ &= A^2 + 1 - 2A(\cos(\alpha_2 - \alpha_1)) \end{aligned}$$

$$\therefore \ell_0 = \sqrt{(A^2 + 1) - 2A \cos(\alpha_2 - \alpha_1)} \dots \textcircled{10}$$

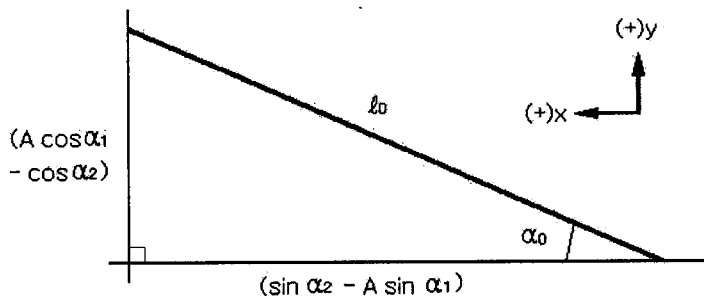


fig3. 교선의 trend(α_0)와 불연속면의 관계

②식에 식⑧,⑨,⑩을 대입하면

$$\begin{aligned} \tan \beta_0 &= \tan \beta_1 \cos(\alpha_1 - \alpha_0) \\ &= \tan \beta_1 [\cos \alpha_1 \cos \alpha_0 + \sin \alpha_1 \sin \alpha_0] \\ &= \tan \beta_1 \left[\cos \alpha_1 \frac{\sin \alpha_2 - A \sin \alpha_1}{\ell_0} + \sin \alpha_1 \frac{A \cos \alpha_1 - \cos \alpha_2}{\ell_0} \right] \\ &= \frac{\tan \beta_1}{\ell_0} \sin(\alpha_2 - \alpha_1) \\ &= \tan \beta_1 \frac{\sin(\alpha_2 - \alpha_1)}{\sqrt{(A^2 + 1) - 2A \cos(\alpha_2 - \alpha_1)}} \\ \beta_0 &= \tan^{-1} \left[\tan \beta_1 \frac{\sin(\alpha_2 - \alpha_1)}{\sqrt{(A^2 + 1) - 2A \cos(\alpha_2 - \alpha_1)}} \right] \dots \textcircled{11} \end{aligned}$$

상기식과 같이 두 불연속면의 측정자료만을 이용하여 교선의 plunge를 구하게 된다.

※ 여기에서 $\ell_0, \tan \beta_0, \tan \beta_1$ 이 (+)값이므로 $\sin(\alpha_2 - \alpha_1)$ 의 값도 (+)의 값이어야 한다.

3. 계산과정 및 계산예

3.1 계산과정

- i) $\sin(\alpha_2 - \alpha_1) \geq 0$ 의 조건에 맞도록 제1불연속면(α_1/β_1)과 제2불연속면(α_2/β_2) 선택
- ii) 식⑦을 활용 교선의 trend(α_0) 결정(보정각도 고려)
- iii) 식② 또는 식⑩을 활용하여 교선의 plunge(β_0) 결정

3.2 계산예

3.2.1 교선의 trend가 제1사분면($0 \sim 90^\circ$)에 존재하는 경우

가정한 두 불연속면의 dip direction/dip은 다음과 같다.

제1불연속면 : $100^\circ / 70^\circ$	$\xrightarrow{\text{Normal plane에 대한}}$	$280^\circ / 20^\circ$
제2불연속면 : $310^\circ / 60^\circ$	$\xrightarrow{\text{trend / plunge}}$	$130^\circ / 30^\circ$

1) 벡터해법에 의한 교선의 trend/plunge

제1불연속면의 벡터성분 : $(l_x, l_y, l_z) = (-0.925, 0.163, 0.342)$

제2불연속면의 벡터성분 : $(m_x, m_y, m_z) = (0.663, -0.557, 0.500)$

교선의 벡터성분 : $(i_x, i_y, i_z) = (0.272, 0.690, 0.407)$

교선의 trend/plunge(α_i/β_i)는 다음식으로 구한다.

$$\alpha_i = \tan^{-1} \left(\frac{i_x}{i_y} \right) + Q \begin{pmatrix} i_x & i_y & Q \\ \geq 0 & \geq 0 & 0 \\ \geq 0 & < 0 & 180 \\ < 0 & < 0 & 180 \\ < 0 & \geq 0 & 360 \end{pmatrix} \quad \beta_i = \tan^{-1} \left(\frac{i_z}{\sqrt{i_x^2 + i_y^2}} \right)$$

$$\therefore \alpha_i / \beta_i = 21.524^\circ / 28.762^\circ$$

2) 계산법에 의한 교선의 trend/plunge

$\sin(\alpha_2 - \alpha_1) \geq 0$ 이어야 하므로

$\alpha_2/\beta_2 = 100^\circ / 70^\circ$, $\alpha_1/\beta_1 = 310^\circ / 60^\circ$ 이 된다.

여기서, $A = \frac{\tan \beta_1}{\tan \beta_2} = 0.630$

$$U_x = (A \cdot \cos \alpha_1 - \cos \alpha_2) = 0.579$$

$$U_y = (\sin \alpha_2 - A \cdot \sin \alpha_1) = 1.468$$

① 교선의 trend(α_0)는

$$\alpha_0 = \tan^{-1} \left[\frac{A \cos \alpha_1 - \cos \alpha_2}{\sin \alpha_2 - A \sin \alpha_1} \right] + Q \quad (\text{여기서, } U_x \geq 0, U_y \geq 0 \text{ 이므로 } Q = 0^\circ)$$

$$= 21.524^\circ$$

② 교선의 plunge(β_0)는

i) 교선의 trend (α_0)를 사용하여 계산할 경우 (식 ② 이용)

$$\tan \beta_0 = \tan \beta_1 \times \cos(\alpha_1 - \alpha_0)$$

$$\beta_0 = \tan^{-1} \{ \tan \beta_1 \times \cos(\alpha_1 - \alpha_0) \} = 28.762^\circ$$

ii) 두 불연속면의 trend (α_1, α_2)를 사용하여 계산할 경우 (식 ⑩ 이용)

$$\beta_0 = \tan^{-1} \left[\tan \beta_1 \cdot \sin(\alpha_2 - \alpha_1) / \sqrt{(A^2 + 1) - 2A \cdot \cos(\alpha_2 - \alpha_1)} \right]$$

$$= 28.762^\circ$$

3) 벡터해법과 계산법에 의한 계산결과 대비

구 분	Dip direction/Dip	벡터해법에 의한 교선의 trend/plunge	계산법에 의한 교선의 trend/plunge
제1불연속면	100° /70°	21.524° /28.762°	21.524° /28.762°
제2불연속면	310° /60°		

3.2.2 교선의 trend가 제2사분면(90° ~ 180°)에 존재하는 경우

가정한 두 불연속면의 dip direction/dip은 다음과 같다.

$$\begin{array}{l} \text{제1불연속면 : } 70^\circ /45^\circ \\ \text{제2불연속면 : } 200^\circ /70^\circ \end{array} \quad \begin{array}{c} \text{Normal plane에 대한} \\ \text{trend / plunge} \end{array} \rightarrow \begin{array}{l} 250^\circ /45^\circ \\ 20^\circ /20^\circ \end{array}$$

1) 벡터해법에 의한 교선의 trend/plunge

$$\text{제1불연속면의 벡터성분 : } (l_x, l_y, l_z) = (-0.664, -0.242, 0.707)$$

$$\text{제2불연속면의 벡터성분 : } (m_x, m_y, m_z) = (0.321, 0.883, 0.342)$$

$$\text{교선의 벡터성분 : } (i_x, i_y, i_z) = (0.707, -0.455, 0.509)$$

교선의 trend/plunge(α_i/β_i)는 다음식으로 구한다.

$$\alpha_i = \tan^{-1} \left(\frac{i_x}{i_y} \right) + Q \quad \begin{array}{l} \left(\begin{array}{ccc} i_x & i_y & Q \\ \geq 0 & \geq 0 & 0 \\ \geq 0 & < 0 & 180 \\ < 0 & < 0 & 180 \\ < 0 & \geq 0 & 360 \end{array} \right) \end{array} \quad \beta_i = \tan^{-1} \left(\frac{i_z}{\sqrt{i_x^2 + i_y^2}} \right)$$

$$\therefore \alpha_i / \beta_i = 122.732^\circ / 31.197^\circ$$

2) 계산법에 의한 교선의 trend/plunge

$\sin(\alpha_2 - \alpha_1) \geq 0$ 이어야 하므로

$\alpha_2/\beta_2 = 200^\circ /70^\circ$, $\alpha_1/\beta_1 = 70^\circ /45^\circ$ 이 된다.

$$\text{여기서, } A = \frac{\tan \beta_1}{\tan \beta_2} = 0.364$$

$$U_x = (A \cdot \cos \alpha_1 - \cos \alpha_2) = 1.064$$

$$U_y = (\sin \alpha_2 - A \cdot \sin \alpha_1) = -0.684$$

① 교선의 trend(α_0)는

$$\alpha_0 = \tan^{-1} \left[\frac{A \cos \alpha_1 - \cos \alpha_2}{\sin \alpha_2 - A \sin \alpha_1} \right] + Q \quad (\text{여기서, } U_x \geq 0, U_y < 0 \text{ 이므로 } Q=180^\circ)$$

$$= 122.732^\circ$$

② 교선의 plunge(β_0)는

i) 교선의 trend (α_0)를 사용하여 계산할 경우 (식 ② 이용)

$$\tan \beta_0 = \tan \beta_1 \times \cos(\alpha_1 - \alpha_0)$$

$$\beta_0 = \tan^{-1} \{ \tan \beta_1 \times \cos(\alpha_1 - \alpha_0) \} = 31.197^\circ$$

ii) 두 불연속면의 trend (α_1, α_2)를 사용하여 계산할 경우 (식 ① 이용)

$$\beta_0 = \tan^{-1} \left[\frac{\tan \beta_1 \cdot \sin(\alpha_2 - \alpha_1)}{\sqrt{(A^2 + 1) - 2A \cdot \cos(\alpha_2 - \alpha_1)}} \right]$$

$$= 31.197^\circ$$

3) 벡터해법과 계산법에 의한 계산결과 대비

구 분	Dip direction/Dip	벡터해법에 의한 교선의 trend/plunge	계산법에 의한 교선의 trend/plunge
제1불연속면	70° /45°	122.732° /31.197°	122.732° /31.197°
제2불연속면	200° /70°		

3.2.3 교선의 trend가 제3사분면(180° ~270°)에 존재하는 경우

가정한 두 불연속면의 dip direction/dip은 다음과 같다.

$$\begin{array}{l} \text{제1불연속면 : } 310^\circ /50^\circ \quad \xrightarrow{\text{Normal plane에 대한}} \quad 130^\circ /40^\circ \\ \text{제2불연속면 : } 160^\circ /45^\circ \quad \text{trend / plunge} \quad \quad \quad 340^\circ /45^\circ \end{array}$$

1) 벡터해법에 의한 교선의 trend/plunge

제1불연속면의 벡터성분 : (l_x, l_y, l_z)=(0.587, -0.492, 0.643)

제2불연속면의 벡터성분 : (m_x, m_y, m_z)=(-0.242, 0.664, 0.707)

교선의 벡터성분 : (i_x, i_y, i_z)=(0.775, 0.570, -0.271)

교선의 trend/plunge(α_i/β_i)는 다음식으로 구한다.

$$\alpha_i = \tan^{-1} \left(\frac{i_x}{i_y} \right) + Q \quad \begin{pmatrix} i_x & i_y & Q \\ \geq 0 & \geq 0 & 0 \\ \geq 0 & < 0 & 180 \\ < 0 & < 0 & 180 \\ < 0 & \geq 0 & 360 \end{pmatrix} \quad \beta_i = \tan^{-1} \left(\frac{i_z}{\sqrt{i_x^2 + i_y^2}} \right)$$

$$\therefore \alpha_i / \beta_i = 233.657^\circ / 15.716^\circ$$

2) 계산법에 의한 교선의 trend/plunge

$\sin(\alpha_2 - \alpha_1) \geq 0$ 이어야 하므로

$\alpha_2/\beta_2 = 310^\circ / 60^\circ$, $\alpha_1/\beta_1 = 160^\circ / 45^\circ$ 이 된다.

여기서, $A = \frac{\tan \beta_1}{\tan \beta_2} = 0.839$

$$U_x = (A \cdot \cos \alpha_1 - \cos \alpha_2) = -1.431$$

$$U_y = (\sin \alpha_2 - A \cdot \sin \alpha_1) = -1.053$$

① 교선의 trend(α_0)는

$$\alpha_0 = \tan^{-1} \left[\frac{A \cos \alpha_1 - \cos \alpha_2}{\sin \alpha_2 - A \sin \alpha_1} \right] + Q \quad (\text{여기서, } U_x < 0, U_y < 0 \text{ 이므로 } Q = 180^\circ)$$

$$= 233.657^\circ$$

② 교선의 plunge(β_0)는

i) 교선의 trend(α_0)를 사용하여 계산할 경우 (식 ② 이용)

$$\tan \beta_0 = \tan \beta_1 \times \cos(\alpha_1 - \alpha_0)$$

$$\beta_0 = \tan^{-1} \{ \tan \beta_1 \times \cos(\alpha_1 - \alpha_0) \} = 15.716^\circ$$

ii) 두 불연속면의 trend(α_1, α_2)를 사용하여 계산할 경우 (식 ① 이용)

$$\beta_0 = \tan^{-1} \left[\tan \beta_1 \cdot \sin(\alpha_2 - \alpha_1) / \sqrt{(A^2 + 1) - 2A \cdot \cos(\alpha_2 - \alpha_1)} \right]$$

$$= 15.716^\circ$$

3) 벡터해법과 계산법에 의한 계산결과 대비

구 분	Dip direction/Dip	벡터해법에 의한 교선의 trend/plunge	계산법에 의한 교선의 trend/plunge
제1불연속면	310° / 50°	233.657° / 15.716°	233.657° / 15.716°
제2불연속면	160° / 45°		

3.2.4 교선의 trend가 제4사분면(270° ~ 360°)에 존재하는 경우

가정한 두 불연속면의 dip direction/dip은 다음과 같다.

제1불연속면 : 50° / 50° Normal plane에 대한 → 230° / 40°
 제2불연속면 : 250° / 40° trend / plunge 70° / 50°

1) 벡터해법에 의한 교선의 trend/plunge

제1불연속면의 벡터성분 : (l_x, l_y, l_z) = (-0.587, -0.492, 0.643)

제2불연속면의 벡터성분 : (m_x, m_y, m_z) = (0.604, 0.220, 0.766)

교선의 벡터성분 : (i_x, i_y, i_z) = (0.519, -0.838, -0.168)

교선의 trend/plunge(α_i/β_i)는 다음식으로 구한다.

$$\alpha_i = \tan^{-1} \left(\frac{i_x}{i_y} \right) + Q \begin{pmatrix} i_x & i_y & Q \\ \geq 0 & \geq 0 & 0 \\ \geq 0 & < 0 & 180 \\ < 0 & < 0 & 180 \\ < 0 & \geq 0 & 360 \end{pmatrix} \quad \beta_i = \tan^{-1} \left(\frac{i_z}{\sqrt{i_x^2 + i_y^2}} \right)$$

$$\therefore \alpha_i / \beta_i = 328.246^\circ / 9.700^\circ$$

2) 계산법에 의한 교선의 trend/plunge

$\sin(\alpha_2 - \alpha_1) \geq 0$ 이어야 하므로

$\alpha_2 / \beta_2 = 50^\circ / 50^\circ$, $\alpha_1 / \beta_1 = 250^\circ / 40^\circ$ 이 된다.

여기서, $A = \frac{\tan \beta_1}{\tan \beta_2} = 0.704$

$$U_x = (A \cdot \cos \alpha_1 - \cos \alpha_2) = -0.884$$

$$U_y = (\sin \alpha_2 - A \cdot \sin \alpha_1) = 1.428$$

① 교선의 trend(α_0)는

$$\alpha_0 = \tan^{-1} \left[\frac{A \cos \alpha_1 - \cos \alpha_2}{\sin \alpha_2 - A \sin \alpha_1} \right] + Q \quad (\text{여기서, } U_x < 0, U_y \geq 0 \text{ 이므로 } Q = 360^\circ)$$

$$= 328.246^\circ$$

② 교선의 plunge(β_0)는

i) 교선의 trend(α_0)를 사용하여 계산할 경우 (식 ② 이용)

$$\tan \beta_0 = \tan \beta_1 \times \cos(\alpha_1 - \alpha_0)$$

$$\beta_0 = \tan^{-1} \{ \tan \beta_1 \times \cos(\alpha_1 - \alpha_0) \} = 9.700^\circ$$

ii) 두 불연속면의 trend(α_1, α_2)를 사용하여 계산할 경우 (식 ⑩ 이용)

$$\beta_0 = \tan^{-1} \left[\tan \beta_1 \cdot \sin(\alpha_2 - \alpha_1) / \sqrt{(A^2 + 1) - 2A \cdot \cos(\alpha_2 - \alpha_1)} \right]$$

$$= 9.700^\circ$$

3) 벡터해법과 계산법에 의한 계산결과 대비

구 분	Dip direction/Dip	벡터해법에 의한 교선의 trend/plunge	계산법에 의한 교선의 trend/plunge
제1불연속면	50° / 50°	328.246° / 9.700°	328.246° / 9.700°
제2불연속면	250° / 40°		

4. 결 론

본 기술보고에서는 스테레오 투영도나 벡터개념을 도입하지 않고서도 단순히 계산식에 두불연속면의 측정값을 대입하여 교선을 알 수 있게 하는 또 다른 방법을 제안하였다.

사용 수식은 다음과 같다.

$$\textcircled{1} \text{ 교선의 trend } (\alpha_0) = \tan^{-1} \left[\frac{A \cos \alpha_1 - \cos \alpha_2}{\sin \alpha_2 - A \sin \alpha_1} \right] + Q$$

$$\textcircled{2} \text{ 교선의 plunge } (\beta_0) = \tan^{-1} \left[\tan \beta_1 \frac{\sin(\alpha_2 - \alpha_1)}{\sqrt{(A^2 + 1) - 2A \cos(\alpha_2 - \alpha_1)}} \right]$$

참 고 문 헌

1. STEPHEN D.PRIEST. 1993. Discontinuity Analysis for Rock Engineering, CHAPMAN & HALL